

初期捩りを有する一様矩形断面ばかりの弾塑性曲げ補足歪エネルギーについて

九州大学工学部 正員 山崎徳也

〃 大学院 学生員 太田俊郎

I. 序言 初期捩りモーメントを有する一様断面の部材では、一般に曲げに対する弹性限界の低下と完全塑性モーメントの減少が認められる。これは捩りのせん断応力の影響を受け、断面の一部が单纯曲げの降伏応力以下の値で降伏してしまう所が起因する。本論文はかかる部材をもつ立体構造物の弾塑性挙動を把握するため、その基礎段階としてまず捩りのせん断応力分布の影響を加味した曲げ応力分布を求め、これよりモーメントと曲率の関係式を導き、次いで部材に貯えられる曲げ補足歪エネルギーの算定とその実用化を計るものである。

II. 理論的考察 一様矩形断面($a/b=1$)の部材が捩りモーメント T ($\leq T_y$)

を受けた場合、捩り角を ω 、捩りの応力函数を X とし、座標 (x, y, z) を図-1のとく定めれば既往の研究より、捩りの応力函数は $X = w_0(t^2 - y^2)$

$$\text{またせん断応力 } \tau_{xy}, \tau_{yz} \text{ はそれぞれ } \tau_{xy} = -\frac{\partial X}{\partial y}, \tau_{yz} = -\frac{\partial X}{\partial x} \quad \dots \dots \dots \quad (1)$$

$$\text{さて } \pi/4-\text{セスの降伏条件} \text{ は } \sigma_x^2 + 3(\tau_{xy}^2 + \tau_{yz}^2) = \sigma_y^2 \quad \dots \dots \dots \quad (2)$$

式(1)を式(2)に代入すれば、捩りのせん断応力の影響を考慮した新しい曲げ降伏応力 $\bar{\sigma}_y$ の分布式が求められ次式となる。

$$\bar{\sigma}_y = \sigma_y \left(1 - (\omega/\omega_0)^2 (y/a)^2 \right)^{1/2} = \sigma_y \left(1 - t^2 (y/a)^2 \right)^{1/2} \quad \dots \dots \dots \quad (3)$$

ただし $t = T/T_y = \omega/\omega_0$, $T_y = \omega_0 G I$: 降伏時の捩りモーメント

上式より降伏応力 $\bar{\sigma}_y$ は図-2のごとく半径をそれを \bar{r}_y および a/t とする
積円で与えられ次の式となる。

$$\bar{\sigma}_y^2 / \sigma_y^2 + \bar{r}_y^2 / (a/t)^2 = 1, \quad 1 \leq a/t \leq 1$$

以上から漸増曲げモーメント荷重に対する断面の緑応力が $\sigma = M b / I < \min(\bar{\sigma}_y)$
 $= \sigma_y \sqrt{1-t^2}$ であれば、断面の応力はいまだ降伏に至らず、 M と ϕ の関係は
弾性のそれであり $M = EI\phi$ となる。

一方 $\sigma^2 > \sigma_y \sqrt{1-t^2}$ とされば式(3)より明らかに断面の一部には図-3のとく塑性領域が逐次発生する。いま図-3のおよび図-4に示す塑性域の状態を ϕ_1 弾塑性、 ϕ_2 弾塑性と名付ければ、応力分布状態はそれを図-4、図-5のとくになり、断面に働く曲げモーメントはそれを次式で与えられる。

$$\phi_1 \text{ 弹塑性: } M = M_y [a_1 - a_2 / \sigma^2 + a_3 \{ 2\sqrt{1-t^2} + \sqrt{1-\phi^2} / \phi + (4\phi - 4) \sin^{-1} \sqrt{1-\phi^2} \}], \quad M_{y1} \leq M \leq M_{y2} \quad \dots \dots \dots \quad (4)$$

$$\text{ここで } a_1 = 3 \{ \sqrt{1-t^2} + \sin^{-1} t / t \} / 4, \quad a_2 = \{ 2(1-t^2)^{3/2} + 3\sqrt{1-t^2} + 3 \sin^{-1} t / t \} / 16, \quad a_3 = 3 / 8t$$

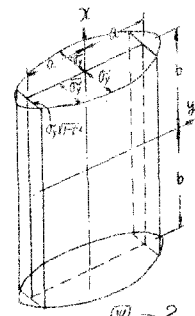
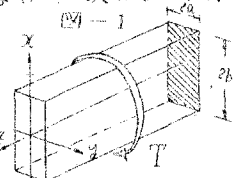
$$M_{y1} = M_y \{ \sqrt{1-t^2} + \sqrt{1-t^2} - 2(1-t^2)^{3/2} \} / 16: \phi_1 \text{ 降伏モーメント}$$

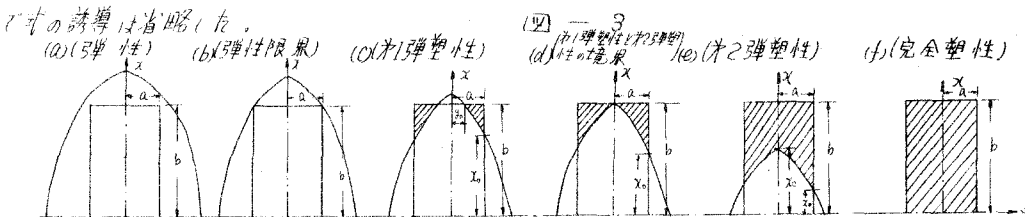
$$M_{y2} = M_y \{ 9 \sin^{-1} t / t + 9\sqrt{1-t^2} - 8(1-t^2)^{3/2} \} / 16: \phi_2 \text{ 降伏モーメント}$$

$$\phi_2 \text{ 弹塑性: } M = M_y [a_1 - a_2 / \sigma^2], \quad M_{y2} \leq M \leq M_{pt} \quad \dots \dots \dots \quad (5)$$

$$\text{ここで } M_{pt} = a_1 M_y - 3 \{ \sqrt{1-t^2} + \sin^{-1} t / t \} M_y / 14: \text{ 完全塑性モーメント}$$

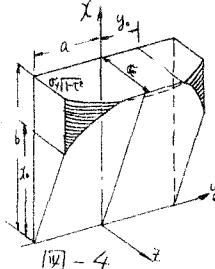
式(4), (5)より M/M_y と $\phi/\phi_0 = \phi$ の関係をまとめたX-Y-図として図示すれば、図-6のとくになり、 $t = 0.5$ 以上では弾性限界が著しく低下することが判読される。なお図中の直線 ϕ_1 と曲線 ϕ_2 は ω/ω_0 なる弾塑性捩りが当初ひときの $M/M_y - \phi$ 曲線を表わしたもの





また(4)-7はMとTとの関係を求めたもので曲線(I)は弾性限界を
曲線(II)は σ_1 弾塑性と σ_2 弾塑性との境界をそれぞれ表わし、さらには
曲線(III)は完全塑性に達したときのMとTとの相互作用曲线をもつ
ものである。

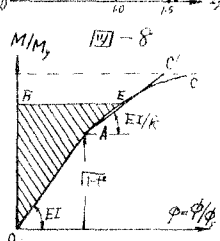
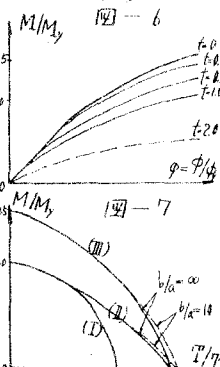
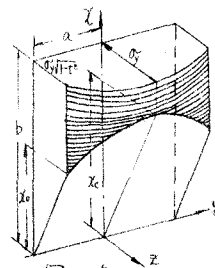
Ⅲ. 曲げ補足歪工ネルギー 棒の単位長さ当たり貯えられる曲げ補足歪工ネルギー dU/ds は 次式で定義される。



$$dU/ds - \int \phi dM = \phi_s [\phi \int dM - \int M d\phi] \quad \dots \dots \dots \quad (6)$$

式(4)の Δ を上式に代入すれば、所要の補足歪エネルギーがえられるか、すなはち無理函数となり、実用性を喪失するので著者らが先に報告した曲げのひずみエネルギーの出力エネルギー等置法³⁾を適用して上述の難点を排除する。すなはち DOLAS は(4)-(8)の斜線の面積 $DAEF$ に相当するゆえ $M/M_y - \varphi$ 曲線のうち A-C 曲線部を 1 本の近似直線 AC' (高精度を必要とする場合は 2 本の直線で近似すればよい。)で置換し、近似直線による補足歪エネルギーの厳密算定値 Δ' 等(い

以上の条件から勾配 EI/κ を決定すれば、 $w/w_0 \leq 1$ のとき $\kappa = \frac{4(151-t^2-3t)}{3(3+4t-t^2-t^3)}$ が得られる。
 $w/w_0 > 1$ のときは $\kappa = 128t/9\pi^2$ となり、補足エネルギーの実用式 117 M/M₀ 図-6
 得られる。 $w/w_0 \leq 1$ のとき $\frac{dU}{ds} = \frac{M^2}{2EI} + (\kappa - 1) \frac{(M - M_0)^2}{2EI}$
 $w/w_0 > 1$ のとき $\frac{dU}{ds} = \kappa \frac{M^2}{2EI}$



III 結び 以上を要約すれば、オカルト一定の拘束モーメント下を受けた一様矩形断面は、よりの曲げモーメントと曲率の関係式が完全塑性に達する全段階において求めうること、オカルト-7に示す $M/M_c - P/P_c$ 曲線のうち曲線④は塑性解析に重要な相互作用曲線として使用でき、さらには曲線①および曲線④は、それそれ弾塑性解析において必要な境界決定の条件式となりうること、オカルトオカルト変分原理を適用すればかかる組合せ応力を対する補足エネルギー法が可能となり、立体構造物の弾塑性解析に拡張適用うるなどの諸点が特色として挙げられる。

参考文献

- (1) 山崎大用: 弾塑性挙動の補足エネルギーに対する実用式, 第2回日本機械学会講演会講演稿集
 (2) M.C. Steele: The Plastic Bending and Twisting of Square Section Members, 1964-9-5 H

J. Mech. Phys. Solids, Vol. 3, 1955

- (3) 山崎太田：塑性解析の拡張化工夫の一法、第19回土木学会年次学術講演会講演概要、昭和39年5月